

05;07;12

Определение теплофизических характеристик и параметров трещин в керамиках лазерным фотодефлекционным методом

© К.Л. Муратиков, А.Л. Глазов

Физико-технический институт им. А.Ф. Иоффе РАН,
194021 Санкт-Петербург, Россия

(Поступило в Редакцию 16 мая 2000 г.)

Разработана модель образования фотодефлекционного сигнала в керамиках. Рассмотрена задача генерации температурных волн лазерным излучением в керамиках с учетом возможной анизотропии их теплофизических свойств. Фотодефлекционным методом выполнены измерения теплофизических параметров на керамике нитрида кремния. Показано, что фотодефлекционный метод может быть использован для обнаружения и определения параметров подповерхностных трещин в керамиках.

Изучению и измерению теплофизических свойств современных керамик уделяется значительное внимание [1,2]. Интерес к их изучению обусловлен сочетанием таких важных свойств, как твердость, износостойкость, устойчивость к коррозии, низкая плотность и возможность использования при высоких температурах. При этом важное значение имеет как изучение свойств однородных керамик, так и диагностика образования в них возможных дефектов. Одним из наиболее важных и трудно детектируемых дефектов в керамиках являются подповерхностные трещины [3–6]. В связи с этим в данной работе разработан подход к решению указанных проблем с помощью лазерного фотодефлекционного метода [7,8]. В работе [9] был предложен модифицированный фотодефлекционный метод, основанный на использовании понятий волновой оптики и позволяющий производить теплофизические измерения в широком диапазоне температурных волн.

Особенности образования фотодефлекционного сигнала в рамках волновой оптики были проанализированы в работах [10–12]. В этих работах были подробно исследованы дифракционные эффекты зондирующего ла-

зерного излучения на нестационарной тепловой линзе, создаваемой вблизи исследуемого объекта излучением накачки, и показана важность их учета при определении фотодефлекционного сигнала. В связи с этим в данной работе детали расчета фотодефлекционного сигнала в рамках указанной модели не рассматриваются.

Для типичной геометрии расположения лазерных пучков и образца (рис. 1) при проведении фотодефлекционных экспериментов выражения для нормальной и тангенциальной компонент фотодефлекционного сигнала в соответствии с результатами работ [10–12] могут быть представлены в виде

$$S_n = \frac{KI_0}{\lambda r \sqrt{\pi}} \frac{\partial n}{\partial T} \int_0^z dz \int dk_y \exp \left[ik_y y_0 - \gamma_g z - \frac{k_y^2 r^2}{4} - \frac{(z - z_0)^2}{r^2} \right] \text{erfi} \left(\frac{z - z_0}{r \sqrt{2}} \right) \hat{T}_s(0, k_y, \omega), \quad (1)$$

$$S_t = \frac{KI_0}{2\lambda r \sqrt{\pi}} \frac{\partial n}{\partial T} \int dy \int dk_y \exp \left[ik_y y - \gamma_g z_0 + \frac{\gamma_g^2 r^2}{4} - \frac{(y - y_0)^2}{r^2} \right] \text{erfi} \left(\frac{y - y_0}{r \sqrt{2}} \right) \times \left[1 + \text{erf} \left(\frac{z_0}{r} - \frac{\gamma_g r}{2} \right) \right] \hat{T}_s(0, k_y, \omega), \quad (2)$$

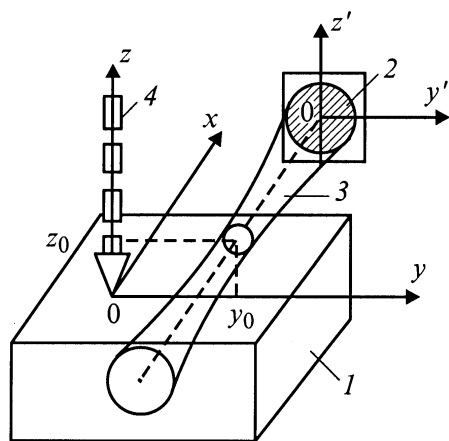


Рис. 1. Схема термофотодефлекционного эксперимента: 1 — исследуемый объект, 2 — фотодетектор, 3 — считывающий лазерный пучок, 4 — греющее излучение.

где K — коэффициент пропорциональности между интенсивностью света на фотоприемнике и электрическим сигналом; I_0 — интенсивность излучения зондирующего лазера; $\partial n / \partial T$ — коэффициент, характеризующий скорость изменения показателя преломления среды вблизи объекта с температурой; λ — длина волны излучения зондирующего лазера; $\hat{T}_s(k_x, k_y, \omega)$ — фурье-образ по координатам x и y от нестационарной составляющей температуры поверхности объекта $T_s(x, y, 0, \omega)$; $\omega = 2\pi f$, f — частота модуляции возбуждающего излучения; r — радиус его пучка в фокальной плоскости; $\gamma_g = \sqrt{k_y^2 + (i\omega / \kappa_g)}$, κ_g — коэффициент температуропроводности среды вблизи объекта; y_0 — поперечное

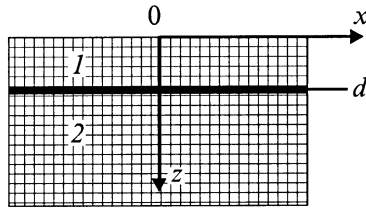


Рис. 2. Схема образца с горизонтальной трещиной на глубине d между слоями 1 и 2.

смещение пучка зондирующего лазера относительно центра тепловой линзы; z_0 — высота его прохождения над поверхностью образца,

$$\operatorname{erfi}(x) = \frac{2}{\sqrt{\pi}} \int_0^x \exp(x^2) dx, \quad \operatorname{erf}(x) = \frac{2}{\sqrt{\pi}} \int_0^x \exp(-x^2) dx.$$

В соответствии с выражениями (1) и (2) для определения фотодефлекционных сигналов необходимо знать нестационарную составляющую температуры поверхности объекта. Для ее определения в свою очередь необходимо исследовать процессы генерации температурных волн и их распространения в объекте и окружающей его среде. Для анализа поведения температурных волн в объектах с подповерхностными трещинами воспользуемся двуслойной моделью (рис. 2). В этой модели предполагается, что трещина залегает на глубине $z = d$. При этом будем считать, что ширина трещины значительно меньше длины температурной волны. Тогда ее присутствие можно характеризовать с помощью некоторого теплового сопротивления, расположенного на границе $z = d$. Кроме того, для общности будем считать, что слои 1 и 2, вообще говоря, характеризуются различными теплофизическими свойствами.

Большинство керамик по своим теплофизическим свойствам является анизотропными материалами. Более точно их обычно можно отнести к классу ортотропных материалов, для которых характерно совпадение двух главных значений тензора теплопроводности в одной из плоскостей и другое главное значение тензора теплопроводности в направлении оси, перпендикулярной к этой плоскости. Расположение указанных плоскостей и осей в реальной керамике определяется направлением горячего прессования при ее изготовлении. В данной работе будем предполагать, что плоскости с одинаковыми главными значениями тензора теплопроводности расположены параллельно плоскости $z = 0$.

Для сформулированной задачи уравнения теплопроводности для газовой среды, окружающей образец, и его первой и второй областей могут быть представлены в следующем виде:

$$\rho_g C_g \frac{\partial T_g}{\partial t} = K_g \left(\frac{\partial^2}{\partial x^2} + \frac{\partial^2}{\partial y^2} + \frac{\partial^2}{\partial z^2} \right) T_g, \quad (3)$$

$$\rho_1 C_1 \frac{\partial T_1}{\partial t} = K_1^{(\parallel)} \frac{\partial^2 T_1}{\partial z^2} + K_1^{(\perp)} \left(\frac{\partial^2 T_1}{\partial x^2} + \frac{\partial^2 T_1}{\partial y^2} \right) + \alpha I_p(x, y, t) e^{-\alpha z}, \quad (4)$$

$$\rho_2 C_2 \frac{\partial T_2}{\partial t} = K_2^{(\parallel)} \frac{\partial^2 T_2}{\partial z^2} + K_2^{(\perp)} \left(\frac{\partial^2 T_2}{\partial x^2} + \frac{\partial^2 T_2}{\partial y^2} \right), \quad (5)$$

где ρ_g, ρ_1, ρ_2 и C_g, C_1, C_2 — плотности и удельные теплоемкости воздуха и материала образца в первой и второй областях соответственно; K_g — теплопроводность воздуха; $K_1^{(\perp)}, K_2^{(\perp)}$ и $K_1^{(\parallel)}, K_2^{(\parallel)}$ — компоненты тензора теплопроводности в плоскости (x, y) и вдоль оси z для первой и второй областей материала; α — коэффициент поглощения образцом излучения возбуждающего лазера; $I_p(x, y, t)$ — распределение интенсивности излучения возбуждающего лазера на поверхности образца.

Отметим, что в фотодефлекционных экспериментах возбуждение температурных волн в образце обычно производится излучением, сильно поглощающимся в образце. Поэтому в уравнениях (4) и (5) считается, что возбуждающее излучение полностью поглощается в первом слое объекта.

Для решения поставленной задачи помимо уравнений теплопроводности необходимо задать граничные условия. Для нашей модели граничные условия на поверхности $z = 0$ и $z = d$ могут быть записаны в следующем виде:

$$T_1 = T_g \Big|_{z=0}, \quad K_1^{(\parallel)} \frac{\partial T_1}{\partial z} = K_g \frac{\partial T_g}{\partial z} \Big|_{z=0},$$

$$K_1^{(\parallel)} \frac{\partial T_1}{\partial z} = K_2^{(\parallel)} \frac{\partial T_2}{\partial z} \Big|_{z=d}, \quad T_1 - T_2 = -R_t K_1^{(\parallel)} \frac{\partial T_1}{\partial z} \Big|_{z=d}, \quad (6)$$

где R_t — тепловое сопротивление между первой и второй областями объекта.

Решение уравнений (3)–(5) удобно искать методом преобразования Фурье по координатам, лежащим в плоскости поверхности объекта, с помощью равенства

$$T(x, y, z, t) = \int dk_x \int dk_y e^{ik_x x + ik_y y} \hat{T}(k_x, k_y, z, t), \quad (7)$$

где $\hat{T}(k_x, k_y, z, t)$ — фурье-образ по координатам x и y от нестационарной составляющей температуры.

В данной работе предполагается, что возбуждение температурных волн производится под действием периодического источника тепла. Поэтому в дальнейшем будем считать, что изменение температуры со временем происходит по гармоническому закону $e^{i\omega t}$. В этом случае уравнение для фурье-образа температуры, например, для первой области образца может быть представлено в

следующей форме:

$$\frac{i\omega}{\kappa_1^{(\parallel)}} \hat{T}_1(k_x, k_y, z, \omega) = \left[-\frac{K_1^{(\perp)}}{K_1^{(\parallel)}} (k_x^2 + k_y^2) + \frac{\partial^2}{\partial z^2} \right] \times \hat{T}_1(k_x, k_y, z, \omega) + \frac{\alpha \hat{I}_p(k_x, k_y) e^{-\alpha z}}{K_1^{(\parallel)}}, \quad (8)$$

где $\hat{I}_p(k_x, k_y)$ — фурье-образ распределения интенсивности излучения возбуждающего лазера на поверхности образца.

Уравнение для фурье-образов температур \hat{T}_g и \hat{T}_2 могут быть получены аналогичным образом. Будем считать, что распределение интенсивности излучения возбуждающего лазера на поверхности образца подчиняется гауссовскому закону, т. е. имеет вид

$$I_p(x, y) = \frac{W_0}{\pi a^2} e^{-\frac{x^2 + y^2}{a^2}}, \quad (9)$$

где W_0 — мощность возбуждающего лазерного пучка, a — его радиус в фокусе пучка.

Тогда фурье-образ распределения интенсивности излучения возбуждающего лазера определяется равенством

$$\hat{I}_p(k_x, k_y) = \frac{W_0}{(2\pi)^2} e^{-\frac{a^2(k_x^2 + k_y^2)}{4}}. \quad (10)$$

Для определения нестационарной составляющей температуры поверхности объекта и в соответствии с выражениями (1) и (2) нормальной и тангенциальной компонент фотодифракционного сигнала необходимо решить уравнения теплопроводности (3)–(5) с граничными условиями (6). Решение этой задачи в явной форме может быть представлено в следующей форме:

$$\hat{T}_g(k_x, k_y, z, \omega) = G e^{q_g z}, \quad (11)$$

$$\hat{T}_1(k_x, k_y, z, \omega) = F_1 e^{q_1 z} + F_2 e^{-q_1 z} + A e^{-\alpha z}, \quad (12)$$

$$\hat{T}_2(k_x, k_y, z, \omega) = S e^{-q_2 z}, \quad (13)$$

где

$$q_g = \sqrt{\frac{i\omega}{\kappa_g} + k_x^2 + k_y^2}, \quad q_{1,2} = \sqrt{\frac{i\omega}{\kappa_{1,2}^{(\parallel)}} + \frac{K_{1,2}^{(\perp)}}{K_{1,2}^{(\parallel)}} (k_x^2 + k_y^2)},$$

$$G = A \left(\operatorname{ch} q_1 d \frac{q_1 K_1^{(\parallel)} P e^{-\alpha d} - N (\alpha K_1^{(\parallel)} + q_g K_g)}{NM + q_1 K_1^{(\parallel)}} + 1 \right),$$

$$A = \frac{\alpha \hat{I}_p}{K_1^{(\parallel)}} \frac{1}{\frac{i\omega}{\kappa_1^{(\parallel)}} + \frac{K_1^{(\perp)}}{K_1^{(\parallel)}} (k_x^2 + k_y^2) - \alpha^2},$$

$$F_1 = \frac{1}{2} \frac{A}{NM + q_1 K_1^{(\parallel)}} \left[(\alpha K_1^{(\parallel)} + q_g K_g) (1 - N e^{-q_1 d}) + P e^{-\alpha d} (M + q_1 K_1^{(\parallel)} e^{-q_1 d}) \right],$$

$$F_2 = \frac{1}{2} \frac{A}{NM + q_1 K_1^{(\parallel)}} \left[-(\alpha K_1^{(\parallel)} + q_g K_g) (1 + N e^{q_1 d}) + P e^{-\alpha d} (q_1 K_1^{(\parallel)} e^{q_1 d} - M) \right],$$

$$S = -\frac{q_1 K_1^{(\parallel)}}{q_2 K_2^{(\parallel)}} \frac{MA}{NM + q_1 K_1^{(\parallel)}} e^{q_2 d} \operatorname{ch} q_1 d \left(\frac{\alpha K_1^{(\parallel)} + q_g K_g}{M} + P e^{-\alpha d} \right) + \frac{\alpha A K_1^{(\parallel)}}{q_2 K_2^{(\parallel)}} e^{-(\alpha + q_2) d},$$

$$M = q_g K_g \operatorname{ch} q_1 d + q_1 K_1^{(\parallel)} \operatorname{sh} q_1 d,$$

$$N = \operatorname{sh} q_1 d + \left(1 + R_r q_2 K_2^{(\parallel)} \right) \frac{q_1 K_1^{(\parallel)}}{q_2 K_2^{(\parallel)}} \operatorname{ch} q_1 d,$$

$$P = \frac{\alpha K_1^{(\parallel)}}{q_2 K_2^{(\parallel)}} \left(1 + R_r q_2 K_2^{(\parallel)} \right) - 1.$$

Нестационарная составляющая температуры поверхности объекта может быть определена из уравнений (11) и (12), если в них положить $z = 0$. К сожалению, получающиеся при этом для фотодифракционного сигнала выражения являются достаточно сложными и не могут быть выражены в аналитической форме. В связи с этим нами была разработана компьютерная программа для определения нормальной и тангенциальной компонент фотодифракционного сигнала.

Поставленная задача может быть решена также в рамках понятий теории рассеяния температурных волн. Для этого необходимо ввести понятия падающей, прошедшей и отраженной температурных волн, а также определить коэффициенты отражения и пропускания температурных волн на границах раздела [15]. В данном рассмотрении обобщим результаты работы [13] на случай, когда излучение возбуждающего лазера проникает в образец, а также когда на границе областей образца имеется тепловое сопротивление.

В общем случае падающая и отраженная вдоль оси z от границы $z = d$ волны, а также волна, прошедшая во вторую область образца, могут быть определены с помощью равенства

$$\hat{T}_1(k_x, k_y, z) = C_I e^{q_1 z} \quad \text{при } 0 \leq z \leq d, \quad (14)$$

$$\hat{R}_1(k_x, k_y, z) = C_R e^{-q_1 z} \quad \text{при } 0 \leq z \leq d, \quad (15)$$

$$\hat{T}_2(k_x, k_y, z) = C_T e^{q_2 z} \quad \text{при } d \leq z \leq \infty, \quad (16)$$

где C_I, C_R, C_T — некоторые коэффициенты, зависящие от компонент волнового вектора k_x и k_y .

В соответствии с этими выражениями падающая волна определяется равенством (14), отраженная — (15) и прошедшая — (16). Результирующая температурная волна в первом слое может быть представлена с помощью выражений (14) и (15) в виде

$$\hat{T}_1(k_x, k_y, z) = C_I e^{q_1 z} + C_R e^{-q_1 z}. \quad (17)$$

В соответствии с определением коэффициенты отражения и пропускания температурных волн [13] задаются с помощью равенств

$$\hat{R}_{12}(k_x, k_y) = \frac{\hat{R}_1(k_x, k_y, d)}{\hat{I}_1(k_x, k_y, d)} = \frac{C_R}{C_I}, \quad (18)$$

$$\hat{T}_{12}(k_x, k_y) = \frac{\hat{T}_2(k_x, k_y, d)}{\hat{I}_1(k_x, k_y, d)} = \frac{C_T}{C_I}. \quad (19)$$

С использованием граничных условий (6) и уравнений (16), (17) эти выражения в явном виде могут быть представлены в следующей форме:

$$\hat{R}_{12} = \frac{1 - \xi_{12}(1 - R_t q_1 K_1^{(II)})}{1 + \xi_{12}(1 + R_t q_1 K_1^{(II)}),}$$

$$\hat{T}_{12} = \frac{2}{1 + \xi_{12} + R_t q_2 K_2^{(II)}}, \quad (20)$$

где

$$\xi_{12} = \frac{q_2 K_2^{(II)}}{q_1 K_1^{(II)}}.$$

Для случая $R_t = 0$ эти выражения совпадают с результатами работы [15], в которой были найдены коэффициенты отражения и пропускания температурных волн от плоской границы раздела при отсутствии теплового сопротивления.

Температура поверхности объектов может быть найдена с учетом эффекта многократного отражения температурных волн от границ раздела $z = 0$ и $z = d$, а также их интерференции на границе $z = 0$ [13]. При использовании такого подхода температура поверхности объекта может быть определена с помощью равенства

$$\hat{T}_1(k_x, k_y, 0, \omega) = \frac{\alpha \hat{I}_p \hat{T}_{1g}}{2q_1 K_1^{(II)} (1 - \hat{R}_{1g} \hat{R}_{12} e^{-2q_1 d})} \times \int_0^d dz [e^{-q_1 z} + \hat{R}_{12} e^{-q_1(2d-z)}], \quad (21)$$

где

$$\hat{T}_{1g} = \frac{2}{1 + \xi_{1g}}, \quad \xi_{1g} = \frac{q_g K_g}{q_1 K_1^{(II)}}, \quad \hat{R}_{1g} = \frac{1 - \xi_{1g}}{1 + \xi_{1g}}.$$

После подстановки значений коэффициентов пропускания и отражения (20) в выражение (21) температуру поверхности образца получим в следующем виде:

$$\hat{T}_1(k_x, k_y, 0, \omega) = \frac{\alpha \hat{I}_p}{(\alpha^2 - q_1^2) K_1^{(II)}} \times \frac{(r-1)[1 + \xi_{12}(1 + R_t)][1 - e^{-(\alpha + q_1)d}] + (r+1)[1 + \xi_{12}(R_t - 1)][e^{-2q_1 d} - e^{-(\alpha + q_1)d}]}{(1 + \xi_{1g})[1 + \xi_{12}(1 + R_t)] + (1 - \xi_{1g})[1 + \xi_{12}(R_t - 1)]e^{-2q_1 d}}, \quad (22)$$

где $r = \alpha/q_1$.

Отметим, что выражение (22) для температуры поверхности образца совпадает с соответствующей температурой, получаемой путем прямого решения уравнений теплопроводности (3)–(5) и даваемой равенствами (11) или (12). При $R_t = 0$ выражение (22) совпадает с результатом, полученным ранее в работе [13]. Кроме того, отметим, что сформулированный подход помимо температуры поверхности объекта позволяет также найти коэффициенты отражения и прохождения температурных волн через границу раздела в образце при наличии у нее теплового сопротивления.

При известном значении фурье-образа температуры поверхности объекта, даваемом выражениями (12) или (22), в соответствии с равенствами (1) и (2) можно найти нормальную и тангенциальную компоненты фотодифракционного сигнала. Возможность определения фотодифракционного сигнала может быть использована для решения нескольких задач.

Во-первых, полученные результаты могут быть использованы для определения значений теплопроводности объекта фотодифракционным методом. В данной работе они использованы для определения теплофизических параметров керамики нитрида кремния. Для решения этой задачи экспериментально снималась зависимость нормальной и тангенциальной компонент фотодифракционного сигнала от частоты возбуждающего излучения или расстояния между пучками возбуждающего и считывающего лазеров. После этого с помощью выражений (1) и (2) производился компьютерный расчет фотодифракционных сигналов и путем варьирования значений теплопроводностей $\kappa^{(\perp)}$ и $\kappa^{(II)}$ находилась наименьшая среднеквадратичная ошибка между измеренными и теоретическими результатами. Подобная процедура ранее нами была апробирована на различных объемных материалах и тонких пленках [14,15].

В ходе экспериментов на керамике нитрида кремния для возбуждения температурных волн в образцах использовалось излучение аргонового лазера с длиной волны $\lambda = 0.512 \mu\text{m}$, сфокусированное на поверхность образца в пятно с радиусом около $2 \mu\text{m}$. В качестве считывающего использовался He-Ne лазер с длиной волны $\lambda = 0.6328 \mu\text{m}$. Радиус пучка считывающего лазера в области перетяжки составлял $42 \mu\text{m}$, а сам пучок проходил над поверхностью образца примерно на высоте $160 \mu\text{m}$. На рис. 3 представлены результаты экспериментальных измерений и теоретических расчетов поведения нормальной составляющей фотодифракционного сигнала в зависимости от частоты модуляции возбуждающего излучения. На рис. 4 и 5 представлены аналогичные результаты для зависимости нормальной и тангенциальной составляющих фотодифракционного сигнала от расстояния между считывающим и возбуждающим лазерными пучками при фиксированной частоте модуляции возбуждающего излучения. Минимальное значение среднеквадратичной ошибки для отклонения между теоретическими и экспериментальными результатами как для случая нормальной, так и тангенциальной компонент

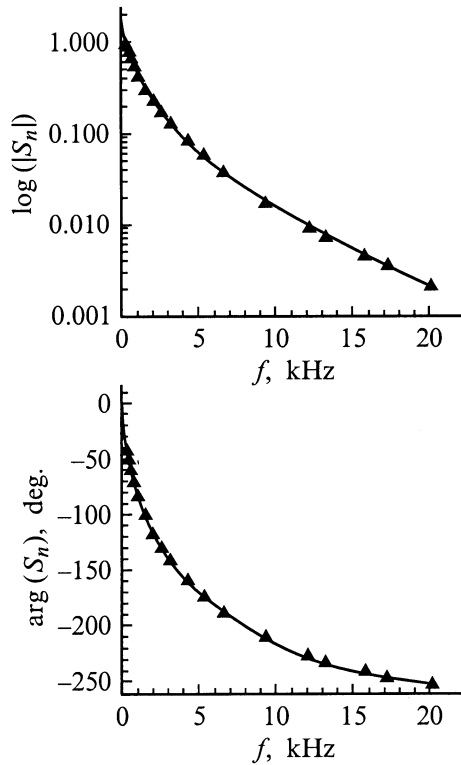


Рис. 3. Зависимость амплитуды и фазы нормальной компоненты фотодефлекционного сигнала от частоты модуляции греющего излучения. \blacktriangle — данные эксперимента, сплошная кривая — теоретический результат после подгонки модельных параметров для однородного образца.

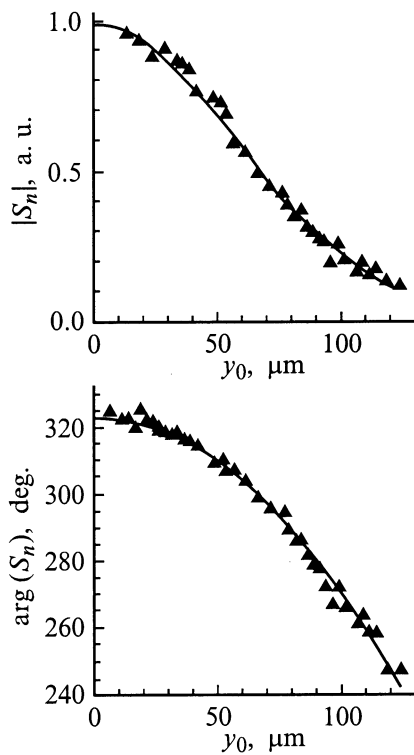


Рис. 4. То же, что и на рис. 3. Частота модуляции греющего излучения 9825 Hz.

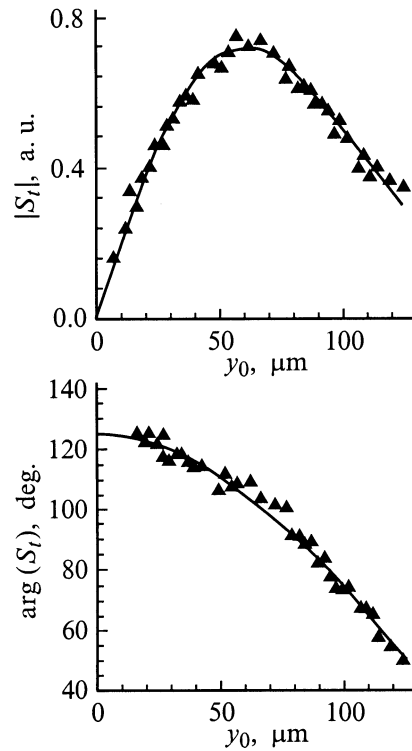


Рис. 5. То же, что и на рис. 3, для тангенциальной компоненты фотодефлекционного сигнала. Частота модуляции греющего излучения 9825 Hz.

фотодефлекционного сигнала достигалось при значениях $\kappa^{(\perp)} = 0.18 \text{ cm}^2/\text{s}$ и $\kappa^{(\parallel)} = 0.13 \text{ cm}^2/\text{s}$. Отметим, что полученные результаты находятся в хорошем количественном соответствии с известными из литературы [2] данными для керамики нитрида кремния $\kappa^{(\perp)} = 0.169 \text{ cm}^2/\text{s}$ и $\kappa^{(\parallel)} = 0.1237 \text{ cm}^2/\text{s}$.

Во-вторых, данные фотодефлекционных измерений могут быть использованы для определения параметров подповерхностных трещин в керамиках. Для исследования этого вопроса были проведены фотодефлекционные эксперименты на керамиках, индентированных по методу Виккерса. Индентирование приводит к образованию в керамике подповерхностных боковых трещин [5]. Для оценки их влияния на фотодефлекционный сигнал были проведены эксперименты на керамике нитрида кремния, индентированной по Виккерсу с нагрузкой 98 N. При этом длина стороны отпечатка составляла $72 \mu\text{m}$. Измерение фотодефлекционного сигнала производилось на расстоянии $60 \mu\text{m}$ от центра отпечатка, отсчитанном вдоль медианы между радиальными трещинами. Для указанной точки было выполнено измерение нормальной составляющей фотодефлекционного сигнала в зависимости от частоты модуляции возбуждающего излучения. Результаты измерений и теоретических расчетов показаны на рис. 6. При этом минимальная среднеквадратичная ошибка была достигнута при $R_t \cong 0.27 \text{ cm}^2\text{K/W}$ и $d = 22 \mu\text{m}$. Если использовать соотношение $R_t = d/K_g$, которое справедливо при длине

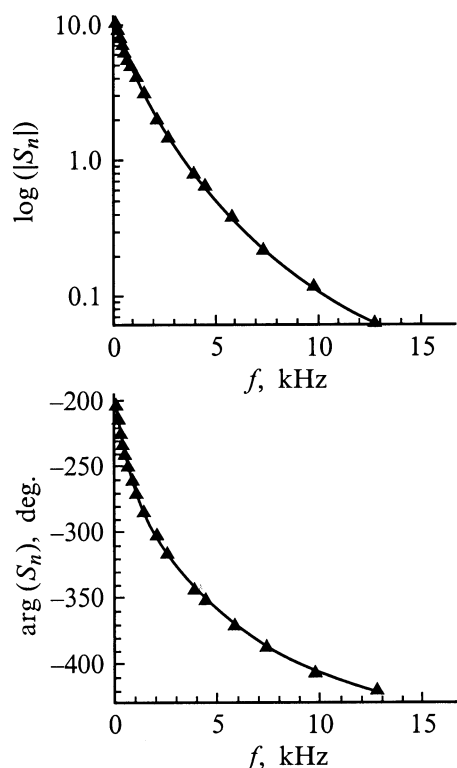


Рис. 6. Зависимость амплитуды и фазы нормальной компоненты. \blacktriangle — данные эксперимента, кривая — теоретический результат после подгонки модельных параметров для образца с горизонтальной трещиной.

температурных волн много больше ширины трещины, то для ширины трещины получим значение $0.6 \mu\text{m}$. Полученный результат хорошо согласуется с типичными для керамик значениями, характеризующими степень раскрытия трещин [16].

При решении двух предыдущих задач в ходе теоретического анализа фотодефлекционного сигнала для простоты делалось предположение о том, что излучение возбуждающего лазера полностью поглощается на поверхности образца. Однако поскольку в известной нам литературе отсутствуют какие-либо данные о коэффициенте поглощения излучения аргонового лазера в керамике нитрида кремния, то нами было проведено дополнительное исследование этого вопроса для оценки величины коэффициента поглощения излучения с длиной волны $\lambda = 0.512 \mu\text{m}$ в этой керамике.

С этой целью были выполнены измерения нормальной и тангенциальной компонент фотодефлекционного сигнала для керамики нитрида кремния в широком диапазоне частот модуляции возбуждающего излучения от 1 до 20 kHz. Теоретический анализ полученных экспериментальных результатов осуществлялся на основе выражений (1) и (2) путем минимизации среднеквадратичных отклонений при варьировании коэффициента поглощения света в этих выражениях. В результате выполнения описанной процедуры нами было получено, что коэффициент поглощения излучения аргонового лазера

в керамике нитрида $\alpha > 3 \cdot 10^3 \text{ cm}^{-1}$. Анализ степени влияния коэффициента поглощения излучения возбуждающего лазера на результаты фотодефлекционных измерений теплофизических параметров и параметров подповерхностных боковых трещин показывает, что при такой величине α учет проникновения света в керамику практически не влияет на полученные результаты. В связи с этим при проведении фотодефлекционных измерений на керамике нитрида кремния с генерацией температурных волн излучением с $\lambda = 0.512 \mu\text{m}$ характер возбуждения температурных волн может рассматриваться как чисто поверхностный процесс.

Таким образом, полученные в данной работе теоретические и экспериментальные результаты показывают, что фотодефлекционные измерения могут быть использованы для определения теплофизических параметров современных керамик, а также определения и оценки параметров подповерхностных трещин.

Список литературы

- [1] *Hasselmann D.P.H., Johnson L.F., Bentsen L.D.* et al. // *Am. Ceram. Soc. Bull.* 1987. Vol. 66. N 5. P. 799–806.
- [2] *Chudecki J.F.* // *Bull. Am. Ceram. Soc.* 1990. Vol. 69. N 7. P. 1113–1115.
- [3] *Grice K.R., Inglehart L.J., Favro L.D.* et al. // *J. Appl. Phys.* 1983. Vol. 54. N 11. P. 6245–6255.
- [4] *Rantala J., Hartikainen J., Jaarinen J.* // *Appl. Phys. A.* 1990. Vol. 50. P. 465–471.
- [5] *Cook R.F., Pharr G.M.* // *J. Am. Ceram. Soc.* 1990. Vol. 73. N 4. P. 787–817.
- [6] *Bashkansky M., Duncan M.D., Kahn M.* et al. // *Opt. Lett.* 1997. Vol. 22. N 1. P. 61–63.
- [7] *Jackson W.B., Amer N.M., Boccara A.C., Fournier D.* // *Appl. Opt.* 1981. Vol. 20. N 8. P. 1333–1344.
- [8] *Aamodt L.C., Murphy J.C.* // *J. Appl. Phys.* 1981. Vol. 52. N 8. P. 4903–4914.
- [9] *Glazov A.L., Muratikov K.L.* // *Opt. Commun.* 1991. Vol. 84. N 5–6. P. 283–289.
- [10] *Глазов А.Л., Муратиков К.Л.* // *ЖТФ.* 1993. Т. 63. Вып. 4. С. 160–166.
- [11] *Глазов А.Л., Муратиков К.Л.* // *ЖТФ.* 1994. Т. 64. Вып. 4. С. 118–127.
- [12] *Glazov A.L., Muratikov K.L.* // *J. Appl. Phys.* 1994. Vol. 76. N 6. P. 3279–3284.
- [13] *Bennet C.A., Patty R.R.* // *Appl. Opt.* 1982. Vol. 21. P. 49–54.
- [14] *Glazov A.L., Muratikov K.L., Walther H.G.* // *High Temperatures-High Pressures.* 1999. Vol. 31. P. 69–73.
- [15] *Glazov A.L., Muratikov K.L.* // *Opt. Eng.* 1997. Vol. 36. N 2. P. 358–362.
- [16] *Pezzotti G., Muraki N., Maeda B.* et al. // *J. Am. Ceram. Soc.* 1999. Vol. 82. N 5. P. 1249–1256.